

## Lucrarea nr. 1

### Studiul IR al moleculelor biatomicice

## INTRODUCERE

Spre deosebire de atom, molecula reprezintă un sistem mai complex ceea ce-i conferă un număr mai mare de grade de libertate decât atomului. Molecula este caracterizată nu numai de energia electronică și de translație ci și de energia de rotație și de vibrație.

Într-o primă aproximare, energia totală a unei molecule poate fi considerată ca o însumare a energiilor sale: electronică  $E_e$ , de vibrație  $E_v$ , de rotație  $E_r$  și de translație  $E_t$ .

$$E = E_e + E_v + E_r + E_t \quad (1)$$

Mișcarea de translație are un caracter continuu (nu poate fi cuantificată), această formă de energie neintrând în joc la emisia sau absorbția radiațiilor. Celelalte trei forme de energie pot fi tratate separat fiecare, considerând că celelalte două nu variază.

Moleculele biatomicice constituie cele mai simple modele pentru studiul teoretic al mișcărilor de rotație și de vibrație moleculară, ele oferind posibilitatea confruntării rezultatelor experimentale cu cele teoretice.

## ROTAȚIA MOLECULELOR BIATOMICE

Cel mai simplu model de moleculă biatomică îl constituie modelul "halteră" în care cei doi atomi sunt considerați puncte materiale de masă  $m_1$  și  $m_2$  unite printr-o axă rigidă, lipsită de greutate (Fig.1). Un astfel de sistem se poate rota în jurul a trei axe perpendiculare între ele, a căror origine este în centrul de greutate al celor două mase. Energia de rotație dată de mecanica clasică este:

$$E = \frac{1}{2}I\omega^2 \quad (2)$$

unde momentul de inerție este  $I=\mu r^2$  și  $\mu=(m_1 \cdot m_2)/(m_1+m_2)$ .

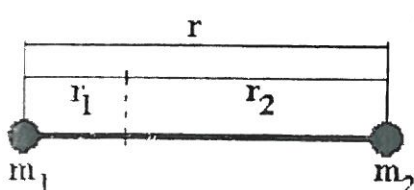


Fig. 1. Modelul rotatorului rigid simplu.

Pentru a afla nivelele de energie ale unui astfel de rotator rigid simplu se rezolvă ecuația lui Schrödinger:

$$\Delta\psi + \frac{8\pi^2\mu}{h^2} E\psi = 0 \quad (3)$$

ale cărei valori proprii sunt:

în care  $J$  este numărul cuantic de rotație și poate lua numai valori întregi: 0, 1, 2, ...

$$E_r = \frac{\hbar^2}{8\pi^2 I} J(J+1) \quad (4)$$

Așadar stările de energie ale rotatorului rigid formează o succesiune de nivele discrete, energia acestor nivele fiind proporțională cu  $J^2$  (Fig.2).

Utilizând valoarea energiei din relația (4), pentru termenul spectral de rotație se obține:

$$F(J) = \frac{E_r}{hc} = BJ(J+1) \quad (5)$$

în care  $B = \frac{\hbar}{8\pi^2 c l}$  se numește constantă de rotație. Regula de selecție pentru rotație

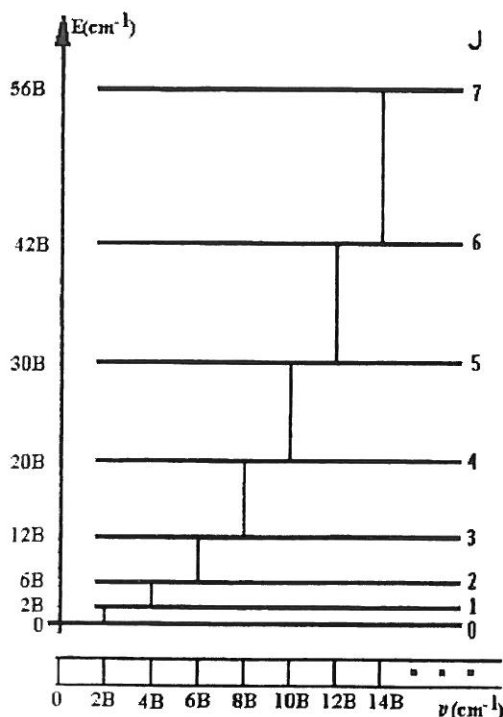
permite numai tranzițiile în care numărul cuantic  $J$  variază cu o unitate:

$$\Delta J = \pm 1 \quad (6)$$

Numărul de undă al radiației absorbite va fi:

$$v = F(J+1) - F(J) = 2B(J+1) \quad (6)$$

Din această relație reiese că spectrul rotatorului rigid simplu este constituit dintr-o serie de linii cu o diferență constantă între ele  $2B$ . Prima linie este situată în poziția  $v = 0$  și corespunde trecerii de la viteza de rotație 0 la prima stare de rotație permisă.



Rotatorul rigid nu poate fi considerat un model perfect al moleculei biatomice deoarece în timpul rotației sale, datorită forței centrifuge distanța internucleară este dependentă de viteza de rotație. Termenul spectral pentru un astfel de rotator nerigid este:

$$F(J) = BJ(J+1) - DJ^2(J+1)^2 \quad (8)$$

în care factorul centrifugal  $D$  este foarte mic ( $< 10^{-4}B$ ).

Acest termen corectiv apare și în expresia numărului de undă:

$$v = 2B(J+1) - 4D(J+1)^3$$

**Fig. 2.** Schema nivelelor de rotație ale rotatorului rigid.

## VIBRAȚIA MOLECULELOR BIATOMICE

Pentru studiul mișcării de vibrație a moleculelor biatomice se folosește modelul "halteră" în care cei doi atomi sunt uniți printr-un resort a cărui constantă elastică este  $k$  și care oscilează armonic sub acțiunea unei forțe elastice de forma:

$$F = -kx \quad (9)$$

În mecanica ondulatorie ecuația lui Schrödinger care descrie mișcarea oscilatorului armonic liniar este:

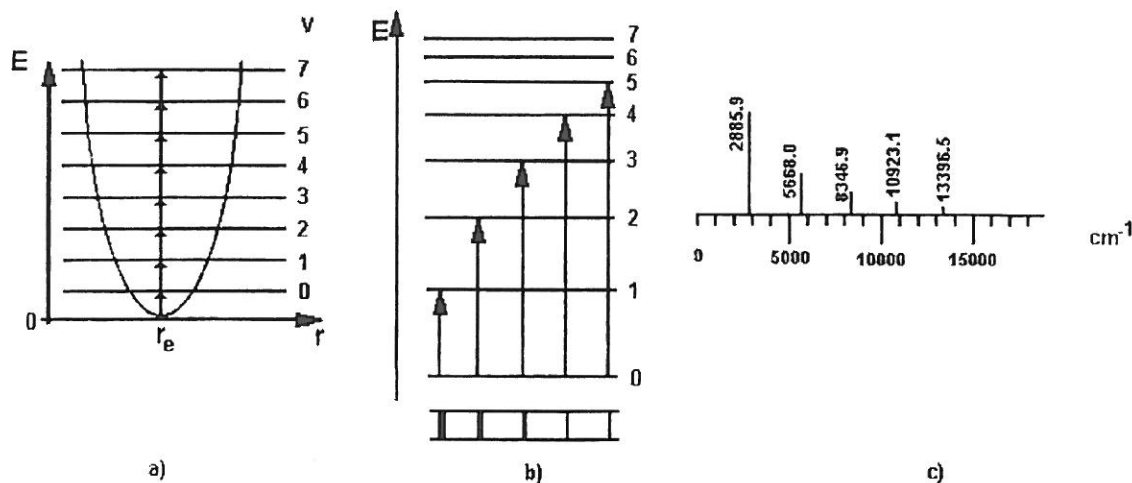
$$\frac{d^2\psi}{dx^2} + \frac{8\pi^2\mu}{h^2}(E - \frac{1}{2}kx^2)\psi = 0 \quad (8)$$

Valorile proprii ale acestei ecuații sunt date de relația:

$$E(v) = \frac{\hbar}{2\pi} \sqrt{\frac{k}{\mu}} (v + \frac{1}{2}) = \hbar v \sqrt{v + \frac{1}{2}} \quad (9)$$

unde  $v = \frac{1}{2\pi} \sqrt{\frac{k}{\mu}}$  este frecvența de vibrație,  $v$  este numărul cuantic de vibrație și poate lua valori întregi: 0, 1, 2, ...

Nivelele energetice ale oscilatorului armonic sunt echidistante (Fig.3.a).



**Fig. 3.** Spectrul de vibrație pentru oscilatorul armonic (a) și anarmonic (b, c).

Termenul spectral al oscilatorului armonic este:

$$G(v) = \frac{v_V}{c} (v + \frac{1}{2}) \quad (12)$$

Dacă notăm  $\frac{v_V}{c} = \omega_1$ , termenul spectral se scrie:

$$G(v) = \omega(v + \frac{1}{2}) \quad (13)$$

Regula de selecție pentru numărul cuantic de vibrație al oscilatorului armonic este  $\Delta v = \pm 1$ , iar numărul de undă al radiației absorbite este  $v_0 = G(v+1) - G(v) = \omega_1$ . Astfel spectrul de vibrație al unei molecule biatomice considerată ca oscilator armonic conține o singură bandă intensă în infraroșul apropiat sau mijlociu (Fig.3.a)

Comportarea reală a unei molecule nu corespunde modelului oscilatorului armonic. În spectrele infraroșii ale moleculelor biatomice se observă în afara benzii intense corespunzătoare tranzitiei  $\Delta v = 1 \rightarrow 0$  (fundamentală) o serie de benzi suplimentare (armonice) a căror frecvență este de  $\approx 2,3,4\dots$  ori mai mare și se datorează unor tranzitii

în care  $\Delta v=2,3,4,\dots$  fiind mult mai slabe ca intensitate decât banda corespunzătoare tranzitiei  $\Delta v=1$  și de aceea practic este observată în majoritatea cazurilor numai aceasta (Fig.3.c). Distanța dintre benzile succesive nu este constantă, ea scade ușor pe măsura creșterii frecvenței, acest lucru confirmând anarmonicitatea vibrațiilor moleculare.

Pentru modelul oscilatorului anarmonic, termenii spectrali sunt dați de:

$$G(v)=\omega_e(v+\frac{1}{2})-\omega_ex_e(v+\frac{1}{2})^2+\omega_ey_e(v+\frac{1}{2})^3+\dots \quad (14)$$

unde constantele  $\omega_ex_e \ll \omega_e$  și  $\omega_ey_e \ll \omega_ex_e$ , numite factori de anarmonicitate sunt raportate la amplitudini infinit mai mici în jurul poziției de echilibru  $r_e$ . Din formula (14) rezultă că pe măsura creșterii numărului cuantic de vibrație  $v$ , diferența dintre nivelele de energie ale oscilatorului anarmonic scade ușor (Fig.3.b). Regula de selecție a acestui oscilator permite tranzitii în care:

$$\Delta v=\pm 1, \pm 2, \pm 3, \dots \quad (15)$$

### MIȘCAREA DE ROTAȚIE-VIBRAȚIE A MOLECULELOR BIATOMICE

După descrierea separată a mișcărilor de rotație și vibrație a moleculelor biatomicice vom considera cazul real în care ambele tipuri de mișcări au loc simultan. Într-o primă aproximare se poate neglija interacțiunea dintre cele două tipuri de mișcări. Termenul spectral al **rotatorului vibrator** este:

$$T=G(v)+F(J)=\omega_e(v+\frac{1}{2})-\omega_ex_e(v+\frac{1}{2})^2+\dots +BJ(J+1)-DJ^2(J+1)^2+\dots \quad (16)$$

În Fig.4.a fiind reprezentate nivelele energetice ale acestuiai, regulile de selecție pentru fiind:

$$\Delta J = + - 1 \quad (17)$$

$$\Delta v = 0, + - 1, + - 2, \dots$$

Notând cu  $v'$  și  $J'$  numerele cuantice ale stărilor finale și cu  $v''$  și  $J''$  cele ale stărilor inițiale se obține următoarea expresie pentru numerele de undă ale liniilor unei benzi de rotație-vibrație:

$$\tilde{\nu} = T' - T'' = G(v') + F(J') - G(v'') - F(J'') \quad (18)$$

În cele ce urmează se va considera pentru tranzitie de vibrație pură ( $J'=J''=0$ ), frecvența  $\tilde{\nu}_0 = G(v') - G(v'')$  15. Constanta  $D$  este foarte mică, termenii respectivi putând fi neglijati, astfel că expresia (18) devine:

$$\tilde{\nu} = \nu_0 + B'J(J'+1) - B''J(J''+1) \quad (19)$$

Tinând cont că numărul cuantic de rotație poate varia numai cu o unitate se pot considera tranzițiile în raport cu un singur număr cuantic  $J$ . Pentru  $\Delta J=+1$  se obține:

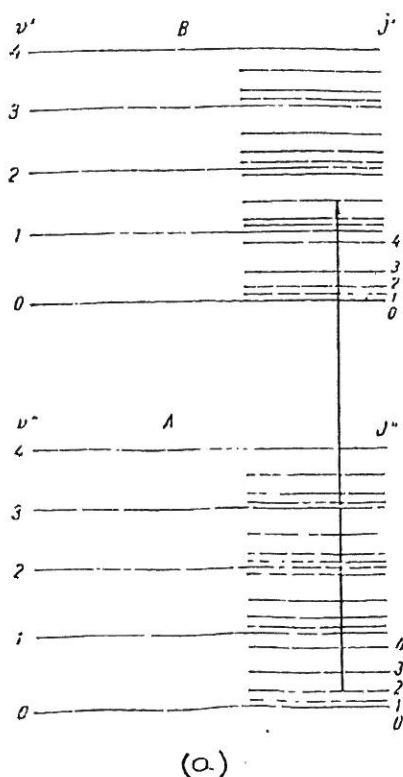
$$\tilde{\nu}_R = \tilde{\nu}_0 + 2B + 2BJ; J=0,1,2,\dots; \quad \tilde{\nu}_P = \tilde{\nu}_0 + 2B + 2B(J+1)$$

(20)

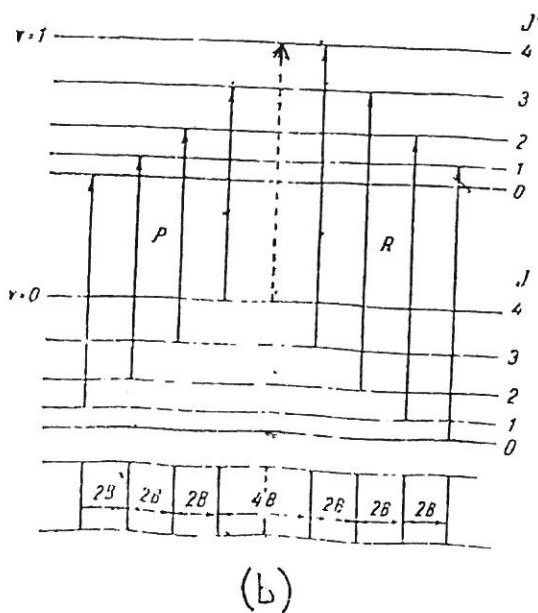
iar pentru  $\Delta J=-1$ ;

$$\tilde{\nu}_P = \tilde{\nu}_0 - 2BJ \quad J=1,2,3,\dots;$$

Banda de rotație-vibrație este astfel formată din două serii de linii, denumite R și P (Fig.4.b).



(a)

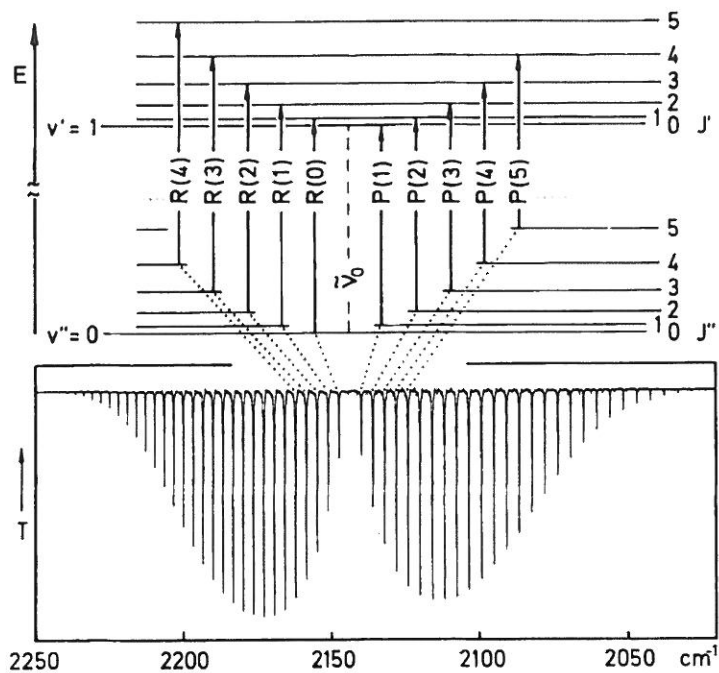


(b)

**Fig. 4.** Nivelele energetice ale rotatorului-vibrator (a) și spectrul de rotație - vibrație (b).

Spectrul corespunzător formulelor (20) este foarte apropiat de cel obținut experimental.

Interacția dintre cele două mișcări de rotație și respectiv de vibrație se manifestă totuși printr-o ușoară convergență a liniilor, dar în vecinătatea frecvenței  $\nu_0$  distanța dintre două linii succesive este aproximativ  $2B$ .



**Fig. 5.** Atribuirea liniilor de rotație-vibrăție a benzii de vibrație fundamentală a moleculei CO.

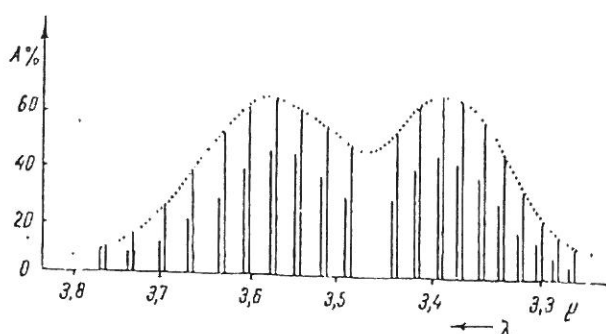
### EFFECTE IZOTOPICE

Spectrele IR ale moleculelor în care unul sau ambii atomi sunt înlocuiți cu unul din izotopii lor sunt caracterizate prin deplasări evidente ale liniilor de absorbție față de pozițiile normale. Aceste deplasări se datorează exclusiv efectului de masă. Într-un amestec de gaze, raportul frecvențelor de vibrație este:

$$\rho = \frac{v^{(i)}}{v} = \sqrt{\frac{\mu}{\mu^{(i)}}} \quad (21)$$

în care indicele i se referă la izotopul mai greu. Nivelele energetice de vibrație sunt mai joase la molecula cu un izotop mai greu decât la molecula normală. În rotație, izotopul mai greu face ca valoarea constantei B să scadă, iar nivelele energetice corespunzătoare să fie mai joase decât ale moleculei "normale" (Fig.5). Dedublarea liniilor în spectrul IR al HCl se datorează prezenței izotopului Cl<sup>37</sup> în acidul clorhidric ordinat în proporție de 25%. Linia de intensitate mai mică din fiecare dublet corespunde izotopului greu Cl<sup>37</sup>, a cărui frecvență este mai scăzută.

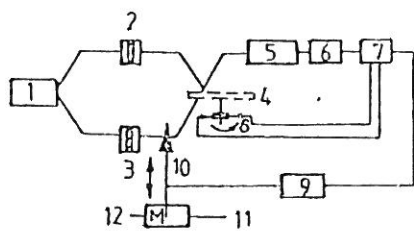
## APARATURA EXPERIMENTALĂ



**Fig. 6.** Banda fundamentală a acidului clorhidric. Influența izotopiei.

oglinzi 4 care se rotește cu o viteză de 5 rotații pe secundă. În funcție de poziția oglinzelui sector 4, cele două fascicole ajung alternativ în monocromatorul 5 unde prin intermediul unei prisme sunt descompuse în radiațiile monocromatice care le alcătuiesc. Radiațiile monocromatice de o anumită lungime de undă, selectate prin fanta de ieșire, sunt recepționate de un termoelement 6, în care se produce o forță electromotoare proporțională cu energia radiațiilor. Dacă această energie este diferită în cele două fascicole, forța electromotoare variază ritmic în raport cu poziția oglinzelui sector. Se produce astfel un curent alternativ a cărui mărime și fază depind de energie a celor două

Fascicolele sunt reunite în planul unei



**Fig. 7.** Schema de principiu a unui spectrometru IR.

După o prealabilă amplificare în amplificatorul 7, în funcție de faza detectată prin sistemul de contacte 8, curentul electric acționează un servomotor 9, care împinge sau retrage din dreptul fascicolului de referință o diafragmă 10 în formă de pieptene, până în momentul egalării energiilor celor două fascicole (nul optic). Aceasta are drept consecință anularea curentului alternativ din circuitul termoelementului și oprirea motorului. Poziția diafragmei 10 corespunde în acest caz transmisiei  $T$  a substanței cercetate la radiația cu frecvență selecționată în monocromator.

Transmisia se definește ca raportul dintre puterea radiantă  $P$  a radiațiilor transmise (care au străbătut probă) și puterea radiațiilor incidente  $P_0$ .

Majoritatea aparatelor moderne înregistrează transmisia în procente:  $T=100 P/P_0$  (la lungimea de undă dată). Aceasta se face cu penița 11, cuplată mecanic cu diafragma 10. O oglindă plană mobilă așezată în spatele prismei deplasează automat spectrul astfel încât prin fanta de ieșire a monocromatorului sunt selecționate succesiv radiații în ordinea crescândă a numerelor de undă. Astfel înregistratorul 12 trasează curba de transmisie a substanței în funcție de frecvență.

## MODUL DE LUCRU

a) Din spectrul obținut experimental (Fig.9) se vor determina valorile  $v_0^{35}$  și  $v_0^{37}$  ale tranziției de vibrație  $\Delta v=1 \rightarrow 0$  corespunzătoare moleculelor  $HCl^{35}$  și  $HCl^{37}$  știind că ramurile R și P sunt dispuse simetric față de acestea.

Cele două ramuri ale benzii de rotație-vibrație pot fi redate printr-o formulă unică:

$$v = v_0 + am + bm^2 \quad (22)$$

unde m este numărul curent al liniilor. Pentru ramura P m ia valorile -1,-2,-3,..., iar pentru ramura R m=1,2,3,... știind că  $a=20.577\text{cm}^{-1}$  și  $b=-0.3034\text{cm}^{-1}$  se vor calcula cu relația (22) numerele de undă ale tranzițiilor de structură fină a benzii de rotație vibrație pentru ambele molecule, pentru valori ale lui  $m=\pm 1 \dots \pm 5$  și se vor compara cu cele experimentale. Rezultatele se vor trece într-un tabel de forma:

$v_0^{35} (\text{cm}^{-1})$	$v_0^{37} (\text{cm}^{-1})$	m	$v^{35} (\text{cm}^{-1})$ calc.	$v^{35} (\text{cm}^{-1})$ exp.	$v^{37} (\text{cm}^{-1})$ calc.	$v^{37} (\text{cm}^{-1})$ exp
		1				
		2				
		3				
		4				
		5				
		-1				
		-2				
		-3				
		-4				
		-5				

b) Cu relația  $v_0 = \frac{1}{2\pi c} \sqrt{\frac{k}{\mu}}$  se vor calcula constantele de forță pentru cele două molecule.

c) Se vor determina experimental constantele de rotație B cu ajutorul cărora se vor calcula momentele de inerție și distanțele internucleare pentru ambele molecule. Distanțele internucleare se vor exprima în Å.

d) Folosind relația  $v_0^2 = \frac{4B^3}{D}$  se va calcula factorul centrifugal pentru cele două molecule.

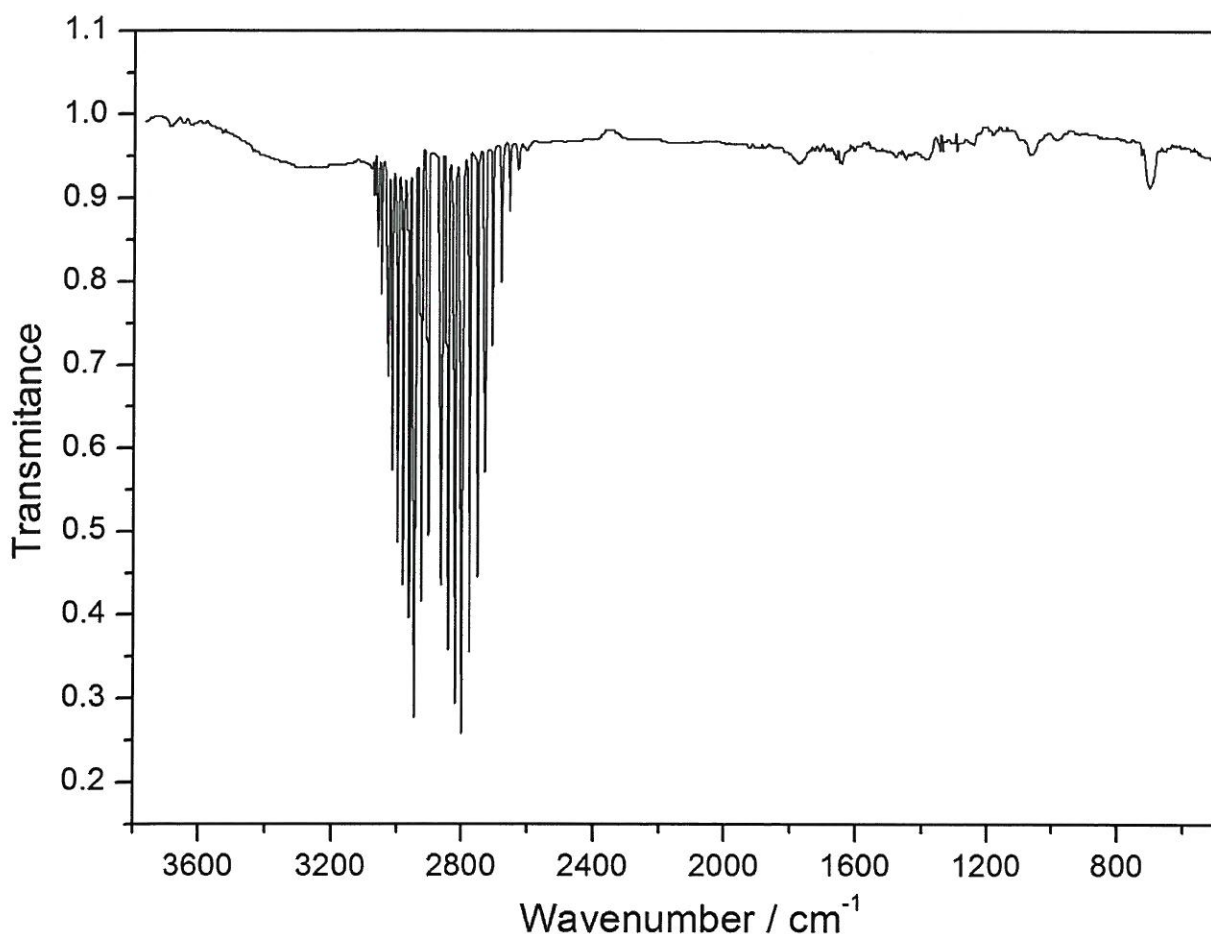
e) Cunoscând factorul de anarmonicitate pentru molecula  $HCl^{35}$ ,  $\omega_e x_e = 51.6 \text{ cm}^{-1}$  se va calcula energia de disociere pentru această moleculă, folosind relația:

$$W_D = \frac{\nu_0^2}{4\omega_e x_e}$$

$W_D$  se va exprima în eV. ( $1 \text{ cm}^{-1} = 1.23985 \times 10^{-4} \text{ eV}$ )

Figura 8 prezintă spectrul IR al HCl în stare de gaz. Numărul de vibrații pentru molecule liniare este  $3N-5$ , ( $N$  fiind numărul de atomi din moleculă) în cazul nostru  $3 \times 2 - 5 = 1$ .

La înregistrarea spectrului cu o rezoluție spectrală înaltă ( $< 1 \text{ cm}^{-1}$ ) se observă peakurile de rotație-vibrație centrate în jurul frecvenței de vibrație  $\nu_0$ .



**Figura 8.** Spectrul IR al HCl înregistrat experimental. (sursa <http://webbook.nist.gov/> )

Figura 9 prezintă doar partea spectrală în care se observă benzile de rotație-vibrație a HCl.

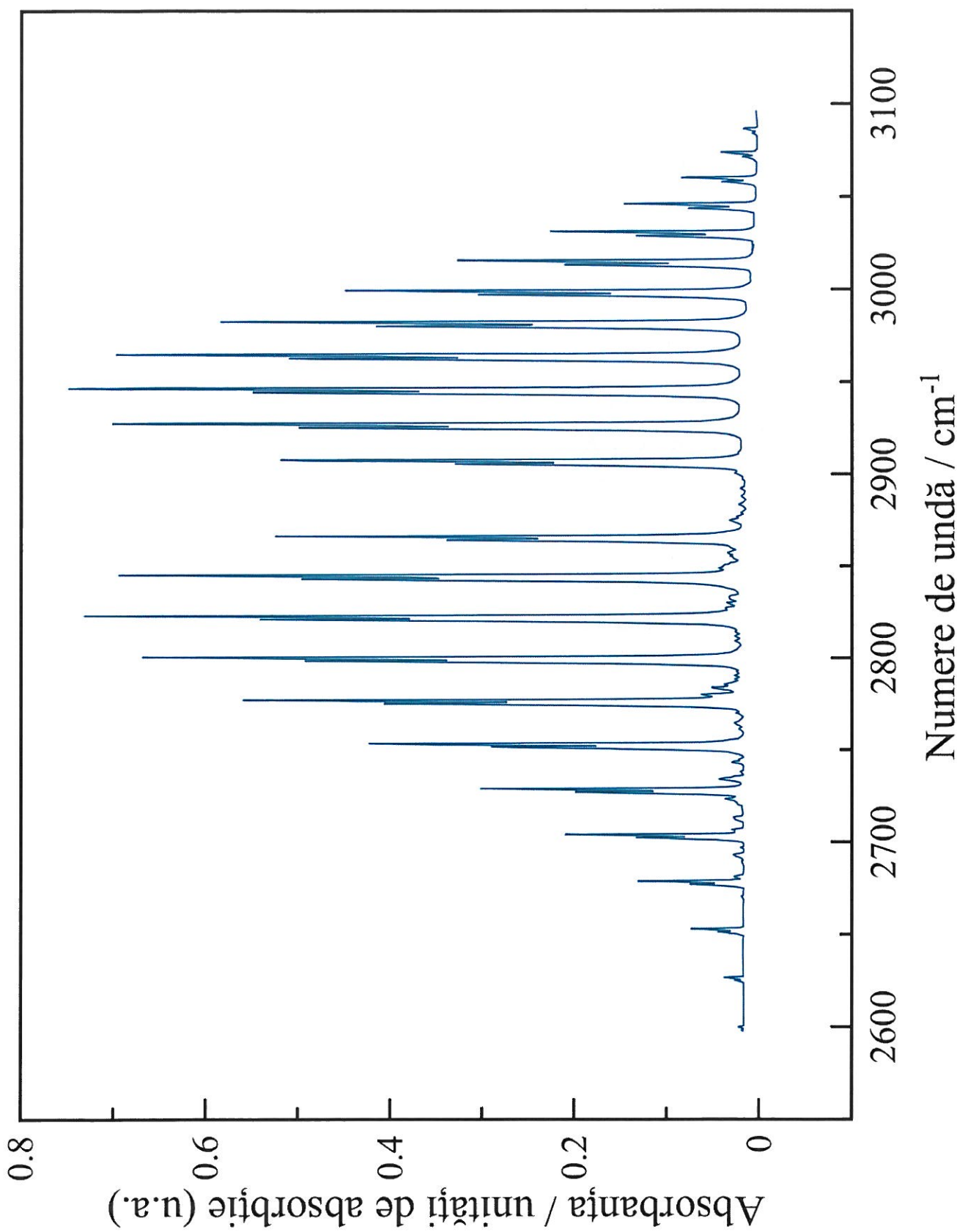


Figura 9. Benzile de rotație-vibratie ale HCl.

În mod analog, completați tabelul următor pentru molecula HBr, folosind spectrul din Figura 10

$\nu_0^{HCl}$ (cm <sup>-1</sup> )	$\nu_0^{HBr}$ (cm <sup>-1</sup> )	m	$\nu^{HCl}$ (cm <sup>-1</sup> )	calc.	exp.	$\nu^{HBr}$ (cm <sup>-1</sup> )	calc.	exp
		1						
		2						
		3						
		4						
		5						
		-1						
		-2						
		-3						
		-4						
		-5						

De asemenea, calculați distanțele inter-nucleare și constantele de forță

	$\nu_0$	r	k
HCl35			
HCl37			
HBr			

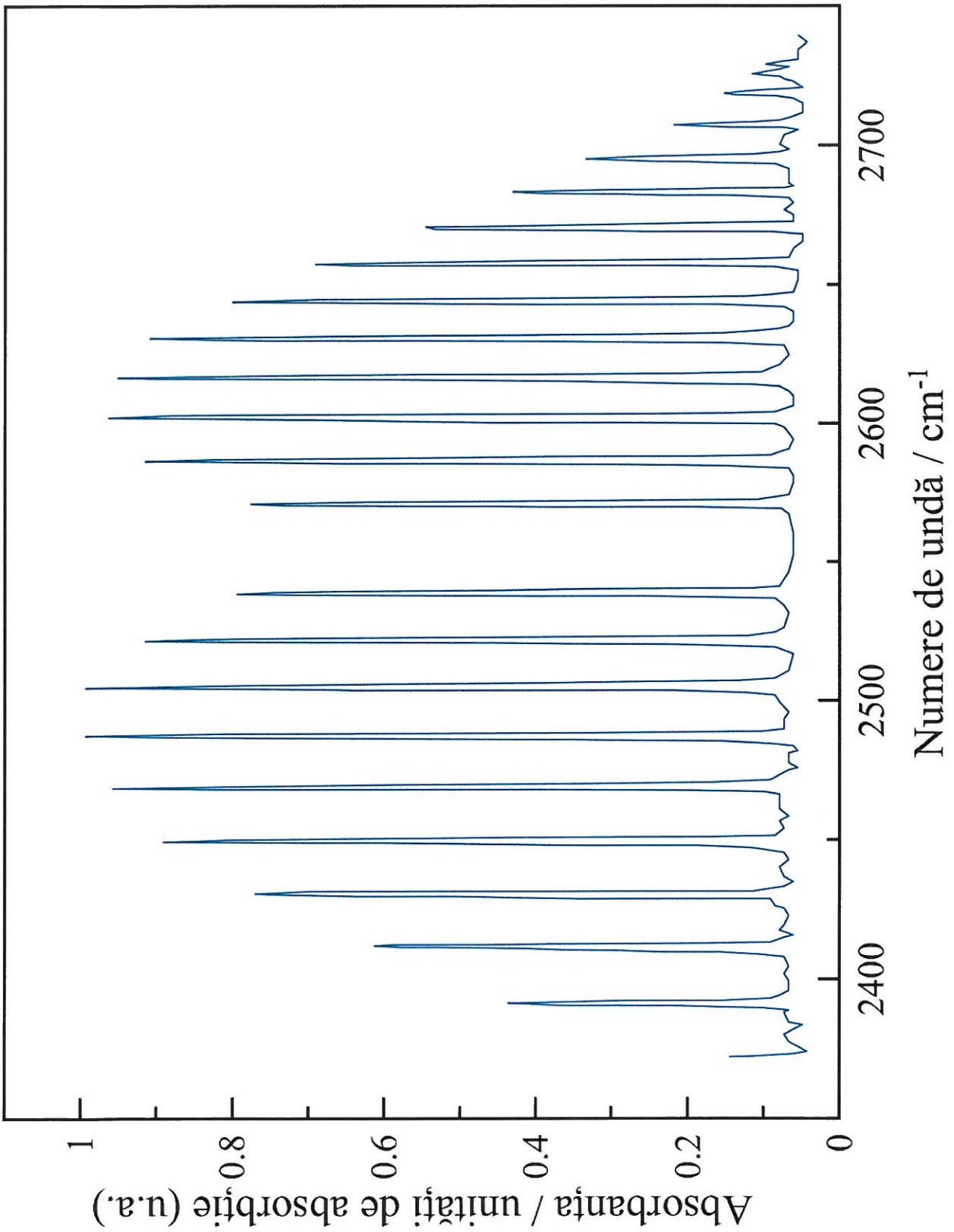


Figura 10. Benzile de rotație-vibratie ale HBr.

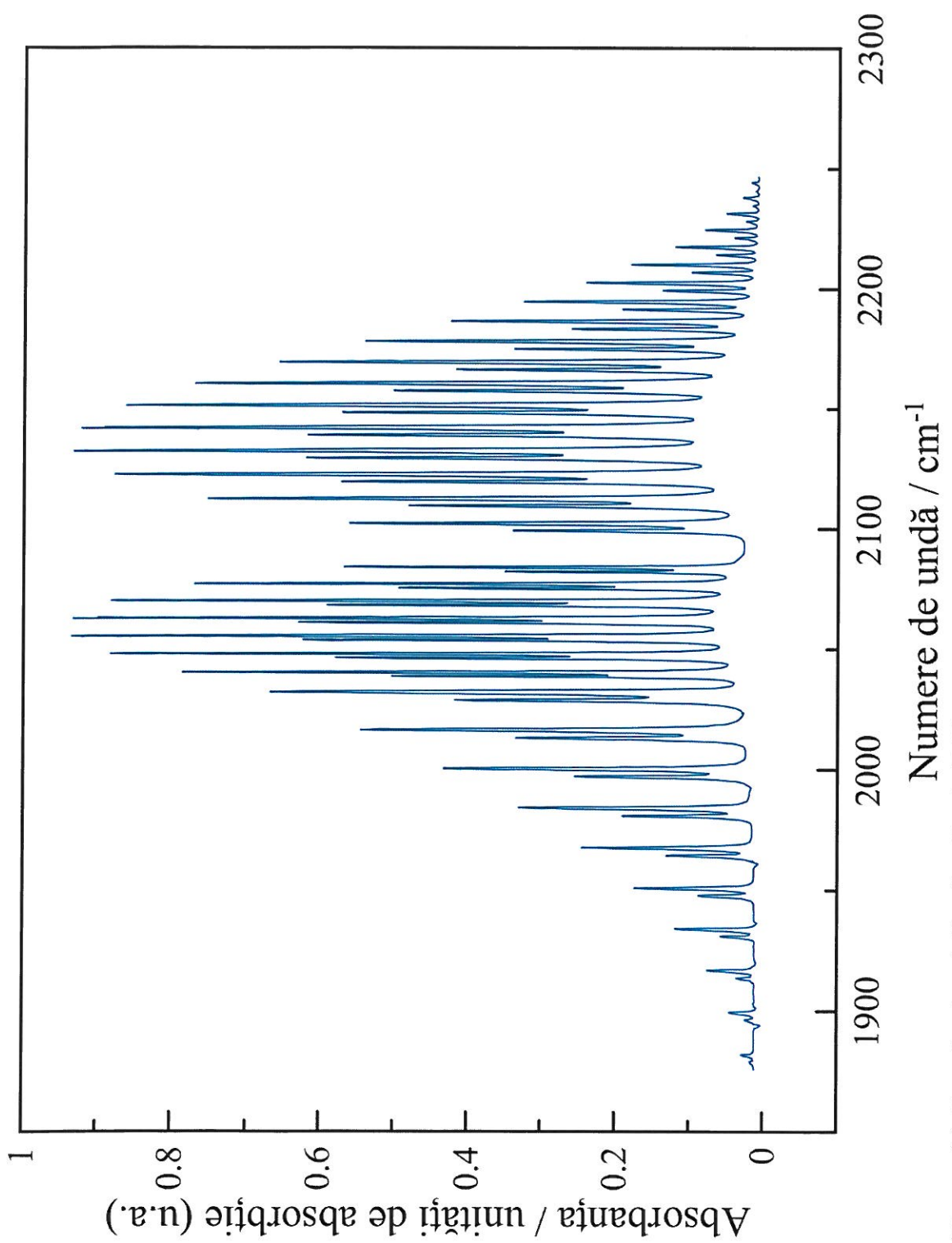


Figura 11. Benzile de rotație-vibratie ale DCI

## Temă

Sa se găsească spectrul moleculei CO folosind baza de date NIST

<http://webbook.nist.gov/>

Descărcați spectrul în format JCAMP și vizualizați-l cu softul JCAMP Data File Viewer:

<http://pslc.uwsp.edu/Viewers.shtml>

Determinați frecvența de vibrație  $\nu_0$  pentru molecula CO.

În acest exemplu se observă benzile de rotație vibrație? Discutați acest aspect.